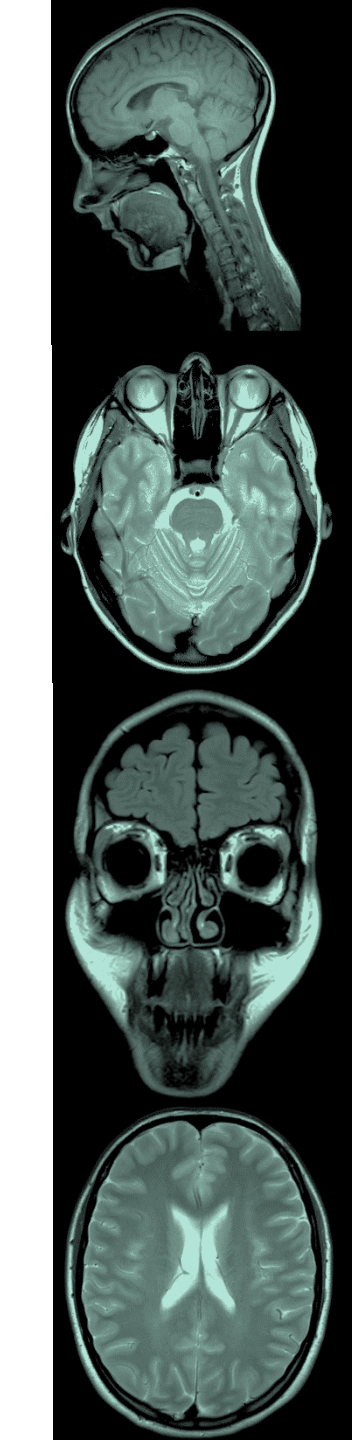
Математическое моделирование гидроцефалии: качественная картина деформации мозгового вещества

Г. С. Янькова^{1,3}, А. А. Черевко^{1,3}, А. К. Хе^{1,3}, О. Б. Богомякова³, А. А. Тулупов^{2,3}

Институт гидродинамики им. М.А. Лаврентьева СО РАН, Новосибирск 1 Международный томографический центр СО РАН, Новосибирск 2 Новосибирский государственный университет 3



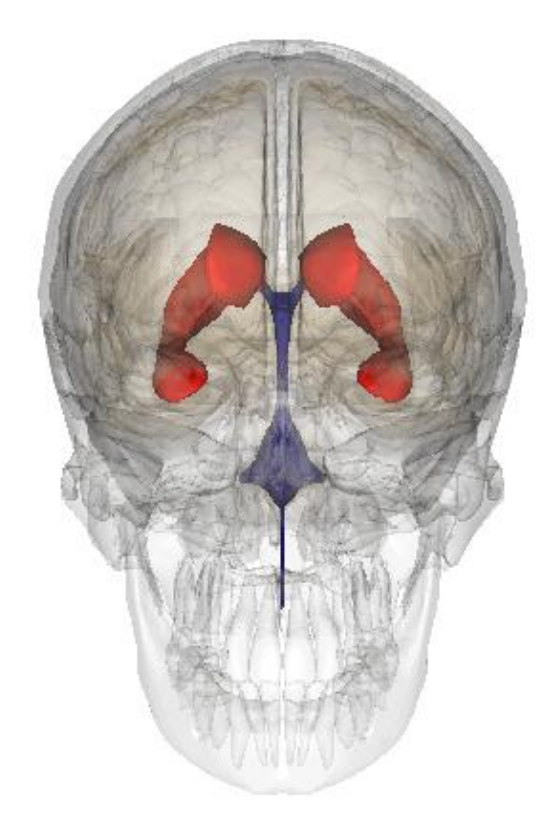
Цереброспинальная жидкость

Ликвор (цереброспинальная жидкость, ЦСЖ) — биологическая жидкость, необходимая для правильного функционирования мозговой ткани. В головном мозге ликвор сосредоточен в четырех желудочках, расположенных в центре черепа.

Скорость производства цереброспинальной жидкости у человека – 500 мл/день.

Функции ликвора:

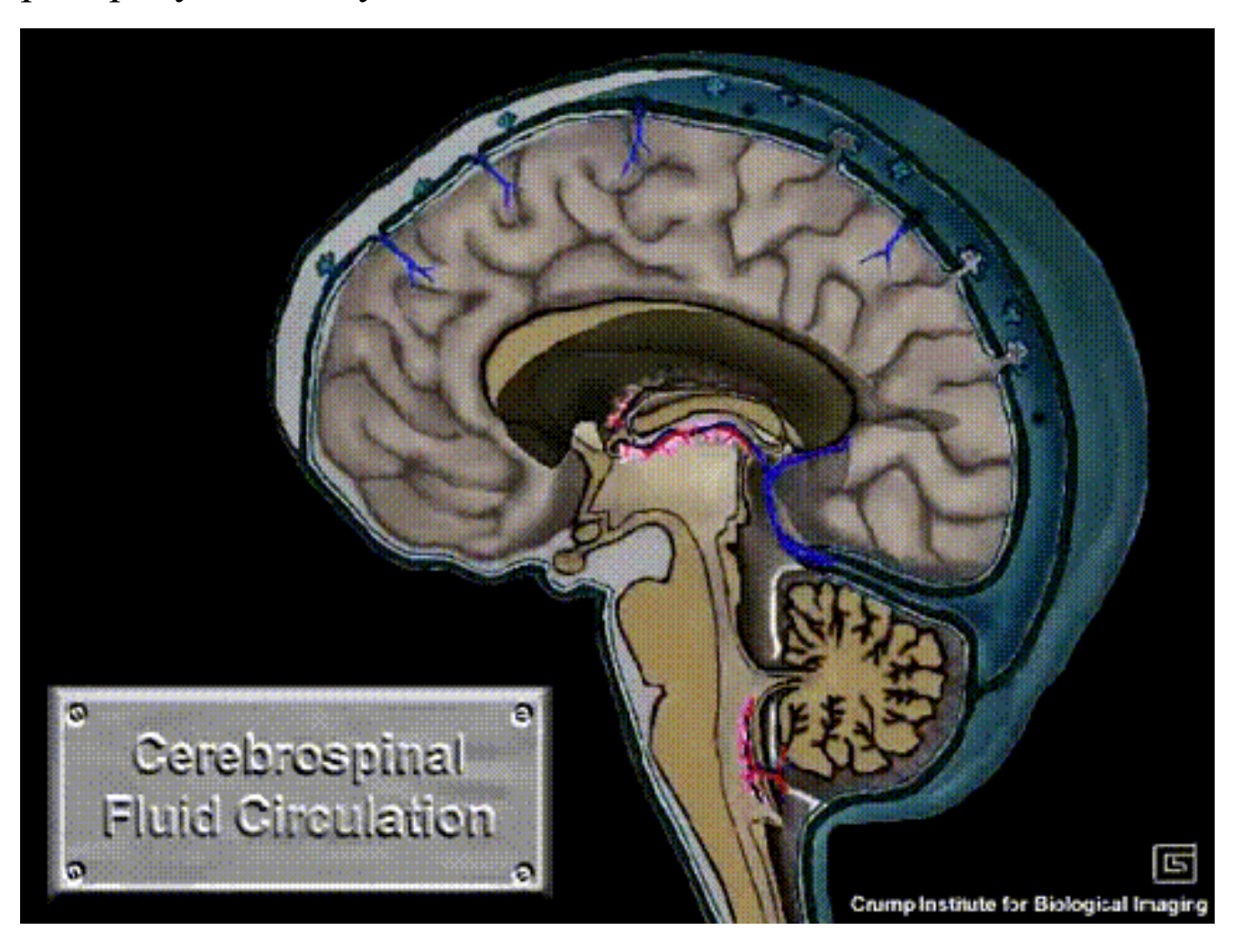
- Вывод из мозга вредных веществ и доставка питательных элементов;
- Предохранение нервных тканей от внешних механических воздействий;
- Поддержание стабильного значения внутричерепного давления.



Images are generated by Life Science Databases(LSDB). - from Anatomography[1] website maintained by Life Science Databases(LSDB)

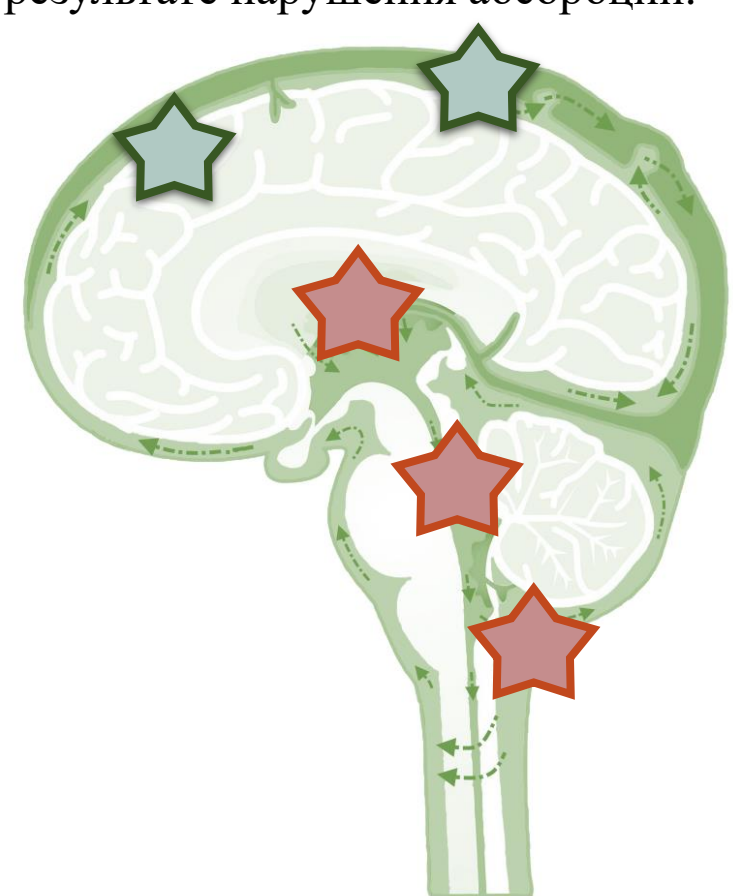
Цереброспинальная жидкость

Боковые желудочки — третий желудочек через отверстие Монро — вдоль третьего желудочка через Сильвиев водопровод — в четвёртый желудочек через отверстия Мажанди и Люшки — субарахноидальное пространство — всасывается в венозных синусах через грануляции паутинной оболочки



Гидроцефалия

Гидроцефалия — патология, характеризующееся избыточным скоплением цереброспинальной жидкости в желудочковой системе головного мозга в результате затруднения её перемещения от места секреции (желудочки головного мозга) к месту абсорбции в кровеносную систему (субарахноидальное пространство), либо в результате нарушения абсорбции.

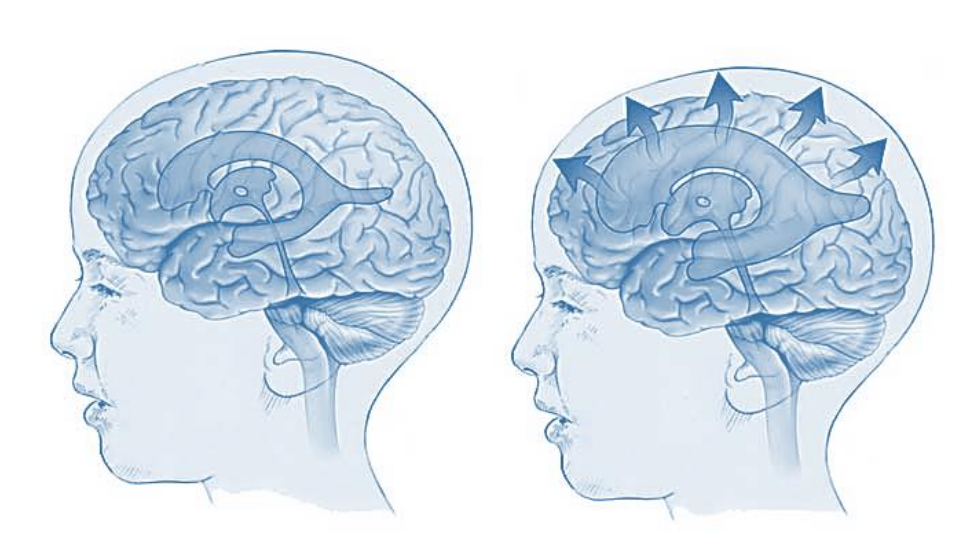




Места, где может происходить нарушение продукции ликвора или его перемещения



Места, где может происходить нарушение абсорбции в кровеносную систему



Гидроцефалия

Математическая модель*

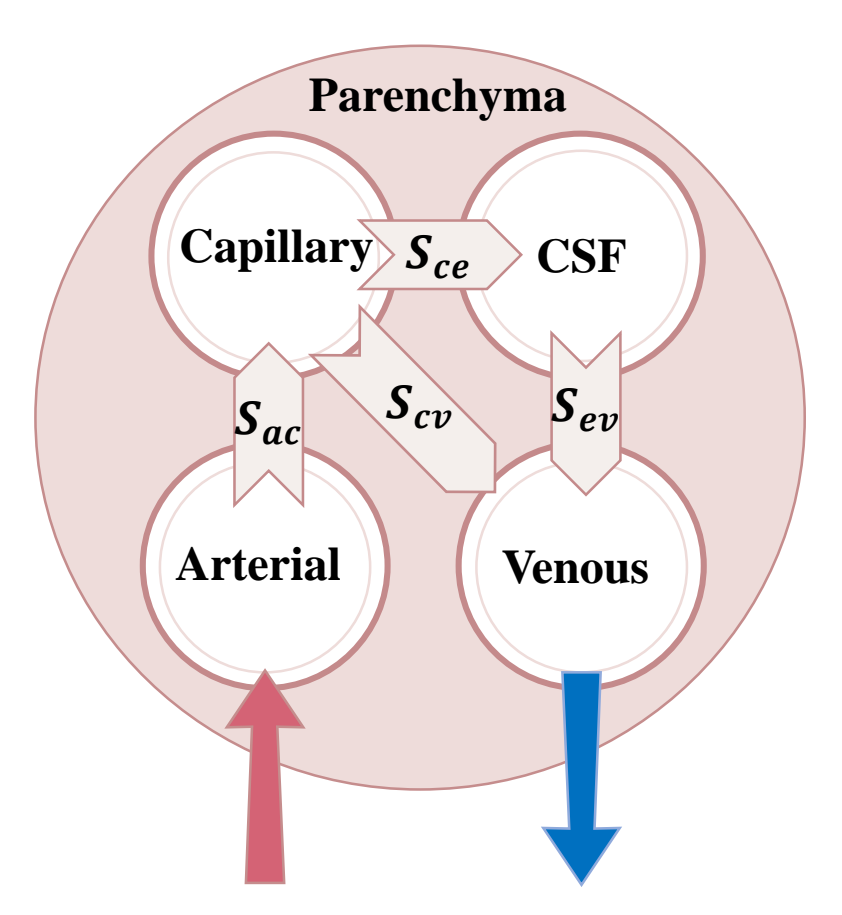


Рис.: Условная схема движения жидкостей в головном мозге

4 сети:

- Артериальная кровь (а)
- Капиллярная кровь (с)
- Венозная кровь (v)
- Ликвор (е)

S_{ac} - направление течения жидкостей. Например, из артериальной сети в капиллярную.

В каждой точке паренхимы присутствуют все четыре жидкости

Подразумевается, что прямой передачи жидкости из артериальной сети в ЦСЖ или в венозную сеть не происходит.

Итоговая система

$$\mu \Delta \mathbf{u} + (\mu + \lambda) \nabla (\operatorname{div} \mathbf{u}) - (\alpha_a \nabla p^a + \alpha_c \nabla p^c + \alpha_e \nabla p^e + \alpha_v \nabla p^v) = 0 \tag{1}$$

$$-\frac{k^a}{\mu^a} \Delta p^a + |\dot{s}_{a\to c}| = 0 \tag{2}$$

$$-\frac{k^{c}}{\mu^{c}} \Delta p^{c} - |\dot{s}_{a \to c}| + |\dot{s}_{c \to e}| + |\dot{s}_{c \to v}| = 0, \tag{3}$$

$$-\frac{k^{e}}{u^{e}} \Delta p^{e} - |\dot{s}_{c \to e}| + |\dot{s}_{e \to v}| = 0, \tag{4}$$

$$-\frac{k^{v}}{\mu^{v}} \Delta p^{v} - |\dot{s}_{c \to v}| - |\dot{s}_{e \to v}| = 0$$
(5)

u — смещение мозгового вещества, p — давление поровой жидкости

- (1) уравнение равновесия для мозгового вещества
- (2) (5) условие равновесия для давлений

$$+|\dot{s}_{x\to y}|$$
 — отток жидкости из сети x в сеть y ;

$$-|\dot{s}_{y\to x}|$$
 — приток жидкости в сеть y из сети x .

 μ , λ — коэффициенты Ламе α_i - параметры Био, i=a, c, e, v

 k^i - проницаемость, i=a, c, e, v

 μ^{i} - динамическая вязкость, i = a, c, e, v

Считается, что транспорт жидкости обусловлен градиентом давления:

$$\dot{s}_{y\to x} = -\gamma_{yx} \left[p^x - p^y \right]$$

Граничные условия

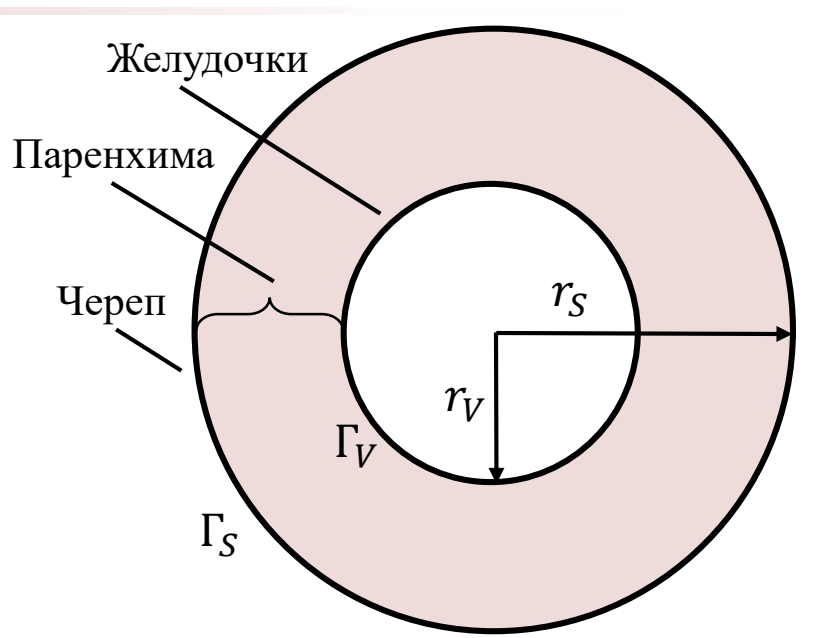
<u>Граница желудочка</u> Γ_V :

• Непрерывность напряжения на стенке желудочка:

$$2 \mu \varepsilon(\boldsymbol{u}) \cdot \boldsymbol{n} + \lambda \varepsilon(\boldsymbol{u}) \boldsymbol{n} = \sum_{i=a,c,e,v} (\alpha^{i} - 1) p^{i} \boldsymbol{n}$$

• Получение ЦСЖ из крови приводит к падению давления в сети артериолы / капилляры:

$$-k_{c \to ventricle} \nabla p^c \boldsymbol{n} = -Q_p$$



 $k_{c o ventricle}$ - сопротивление потока от капилляров к желудочкам (сосудистое сплетение).

• Отсутствие потока для артериальной и венозной сетей:

$$\nabla p^a \mathbf{n} = \nabla p^v \mathbf{n} = 0$$

• Баланс массы жидкости в желудочках (d-диаметр церебрального акведука):

$$Q_{p} = \frac{\pi d^{4}}{128 \,\mu \,L} \left(p^{e}|_{\Gamma_{V}} - p^{e}|_{\Gamma_{S}} \right) - \oint_{Ventricle} \left(-\frac{k^{e}}{\mu^{e}} \nabla p^{e} \right) \cdot \boldsymbol{n} dS$$

Граничные условия

Граница черепа Γ_S :

• Смещения черепа равны 0:

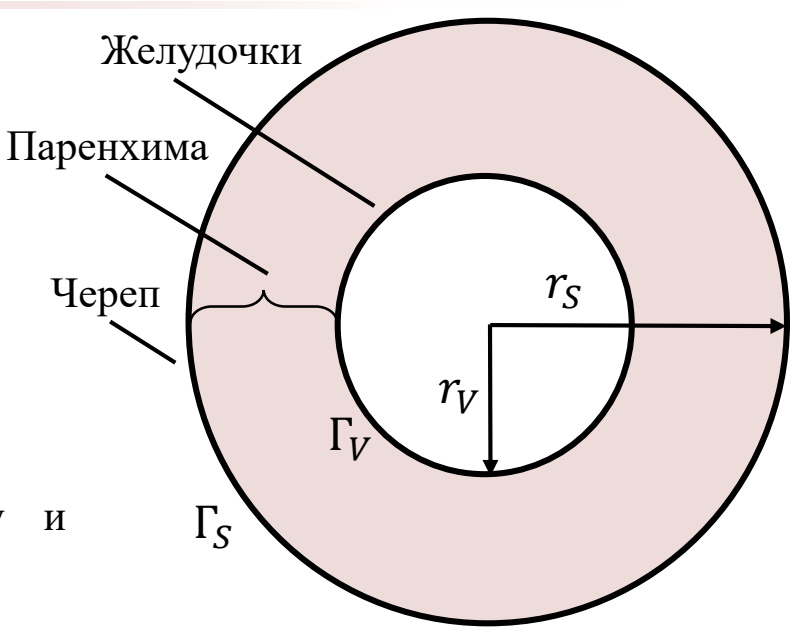
$$\boldsymbol{u} = 0$$

• Отсутствие капиллярного потока на границе черепа:

$$\nabla p^c \mathbf{n} = 0$$

• Кровяное давление соответствует артериальному венозному давлениям:

$$p^a = p_{arterial}, p^v = p_{venous},$$



• Абсорбция ликвора в венозную сеть приводит к перепаду давления:

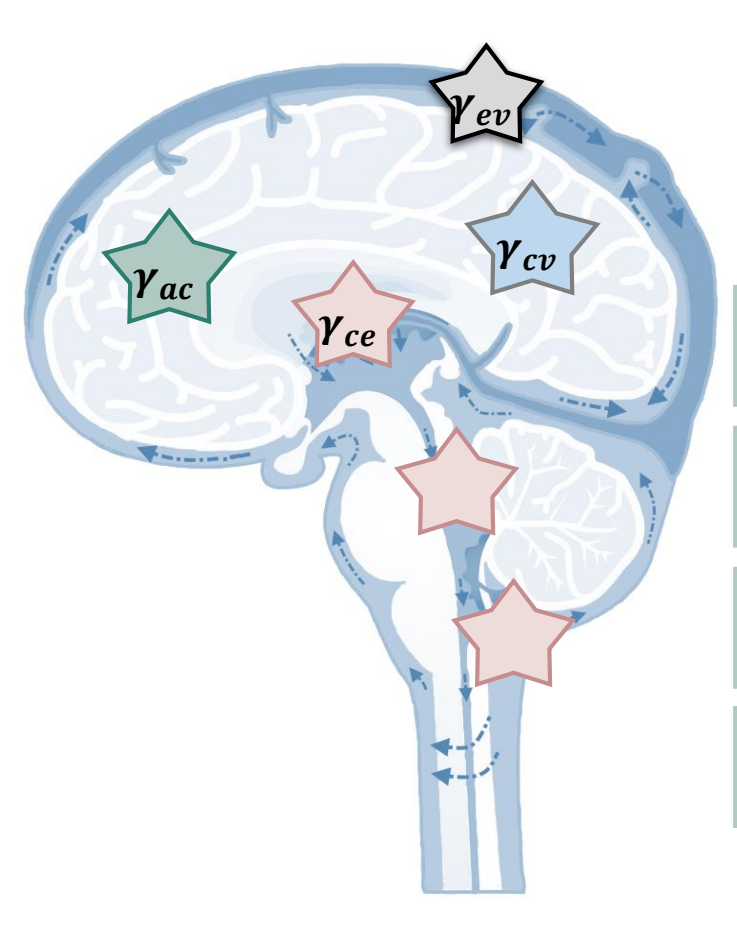
$$p^e = p^v + \mu_e R Q_0$$

 μ_e -вязкость ЦСЖ,

R — сопротивление, обусловленное присутствием арахноидальных грануляций,

 Q_0 — отток ЦСЖ в венозную сеть

Гидроцефалия: параметры модели



 γ_{yx} — коэффициент взаимовлияния давлений между сетью y и сетью x:

 γ_{ac} — артериальной сетью и сетью артериол / капилляров

 γ_{cv} — сетью артериол / капилляров и венозной сетью

 γ_{ce} — сетью артериол / капилляров и сетью с ЦСЖ

 γ_{ev} — сетью с ЦСЖ и венозной сетью

Коэффициенты Био:

 α_a - коэффициент Био артериальной сети

 α_c - коэффициент Био капиллярной сети

 $lpha_v$ - коэффициент Био венозной сети

 $\pmb{lpha_e}$ - коэффициент Био сети с ЦСЖ

Пространство параметров

Диапазон изменения параметров γ_{ac} , γ_{cv} , γ_{ce} , γ_{ev} : от $10^{-4} \frac{D}{N s}$ до $10^4 \frac{D}{N s}$.

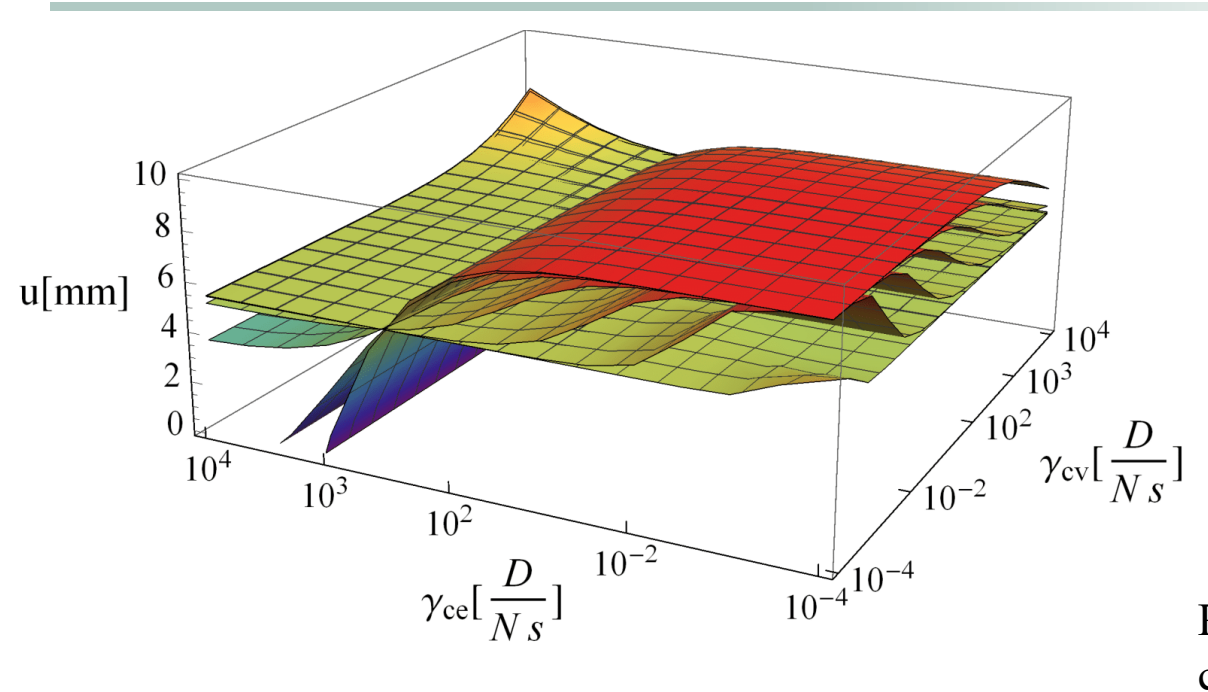
Каждый из параметров γ_{ac} , γ_{cv} , γ_{ce} , γ_{ev} независимо принимал значения из пятнадцатиэлементного набора охватывающего весь диапазон.

Таким образом, было рассчитано 15⁴ различных вариантов.

$$\alpha_a = \alpha_c = \alpha_v = \alpha_e = 0.99.$$

Расчет производился явным методом Рунге-Кутты с автоматическим выбором шага интегрирования и порядка метода.

Результаты: смещение стенки желудочков



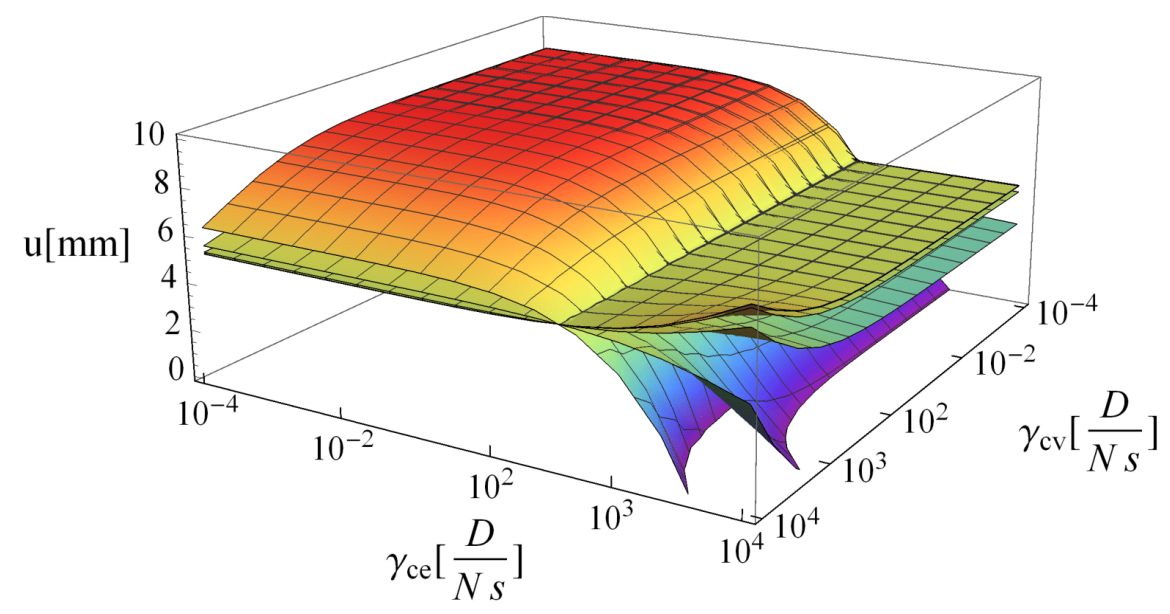
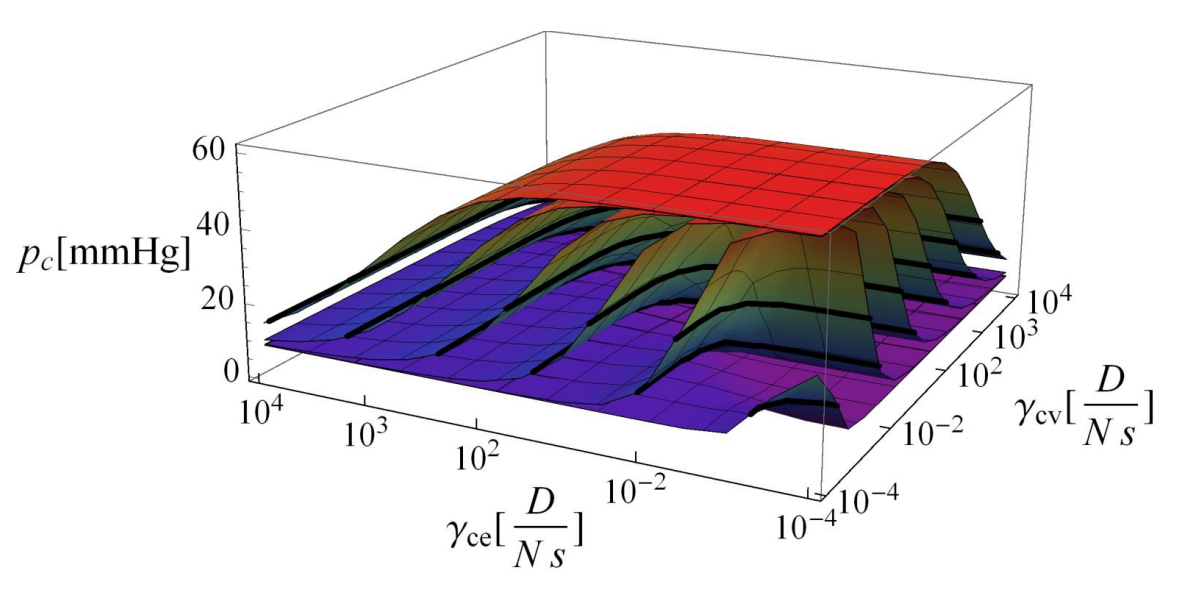
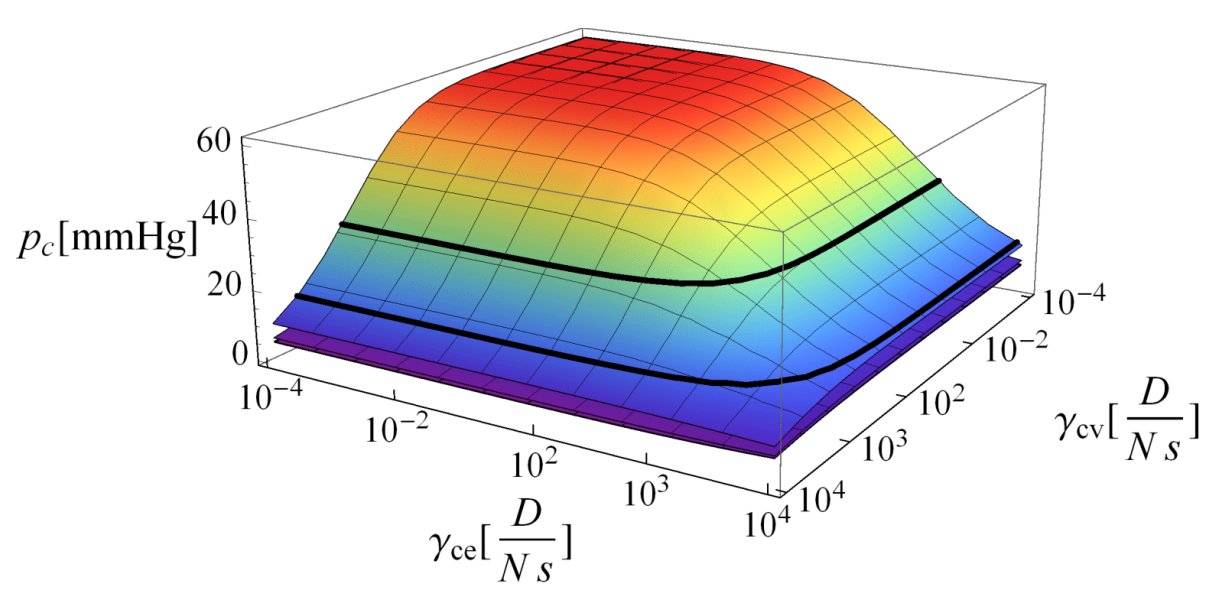


Рис.: Зависимость смещения стенки желудочка от параметров $\gamma_{ac}, \gamma_{cv}, \gamma_{ce}$ при $\gamma_{ev} = \mathbf{100}$

Результаты: давления на стенке желудочков

Рис.: Зависимость капиллярного давления от параметров γ_{ac} , γ_{cv} , γ_{ce} при $\gamma_{ev}=\mathbf{100}$





Физиологическая норма для капиллярного давления составляет от 15 до 30 *mmHg*. Этот диапазон давления лежит на графике между двумя жирными, черными линиями.

Результаты: Область параметров физиологической нормы

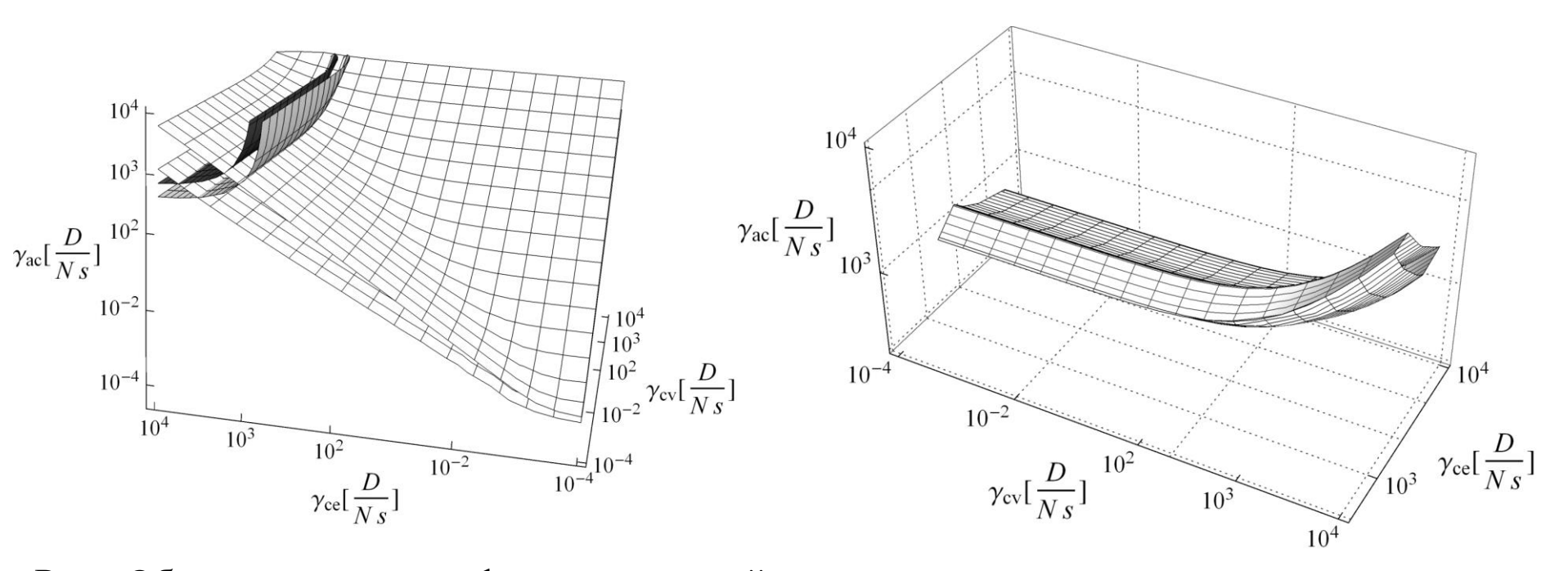


Рис.: Область параметров физиологической нормы в пространстве параметров γ_{ce} , γ_{cv} , γ_{ac}

В соответствии с физиологической нормой стенки желудочков смещаются не более, чем на 2 мм. Диапазон физиологической нормы для капиллярного давления составляет от 15 до 30 mmHg.

Геометрия расчётной области

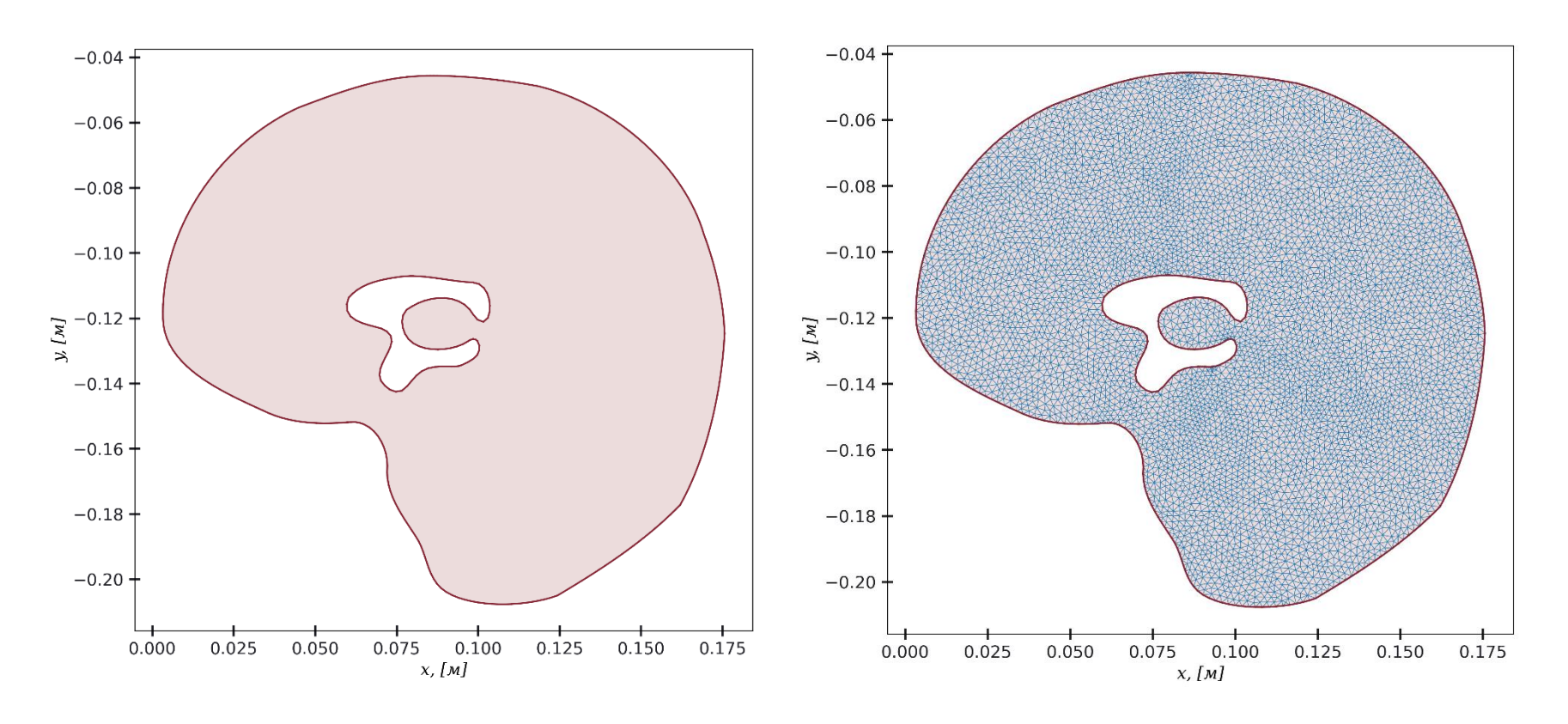


Рис.: Сагиттальный срез головного мозга

Рис.: Конечно-элементная сетка (11670 элементов)

Основные уравнения пороупругости были решены с помощью открытого конечноэлементного пакета FreeFem ++. Для моделирования методом конечных элементов использовалась треугольная сетка с конечными элементами P2.

Результаты: Область параметров физиологической нормы

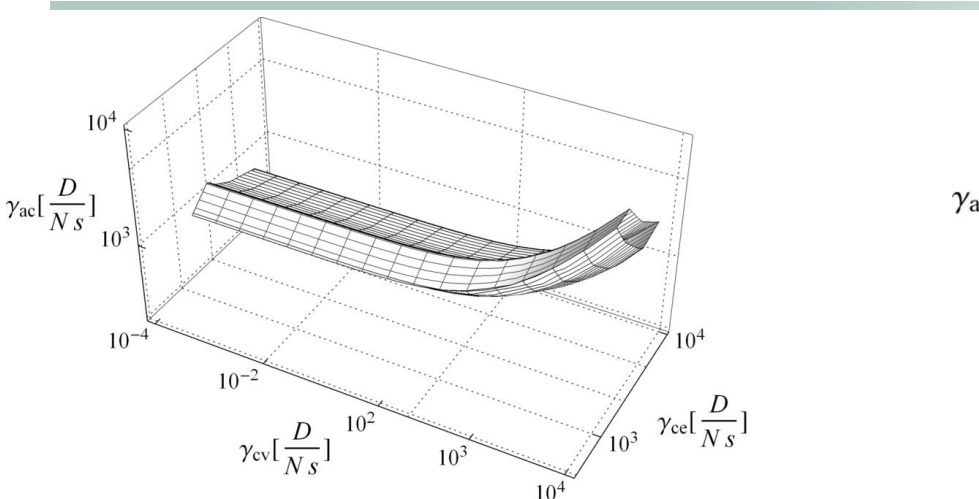


Рис.: Область параметров физиологической нормы в пространстве параметров γ_{ce} , γ_{cv} , γ_{ac} для случая простой геометрии

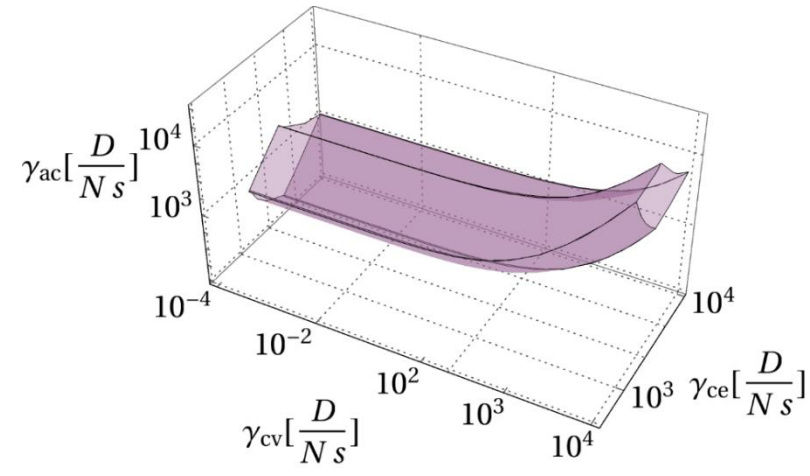


Рис.: Область параметров физиологической нормы в пространстве параметров γ_{ce} , γ_{cv} , γ_{ac} для случая реальной геометрии

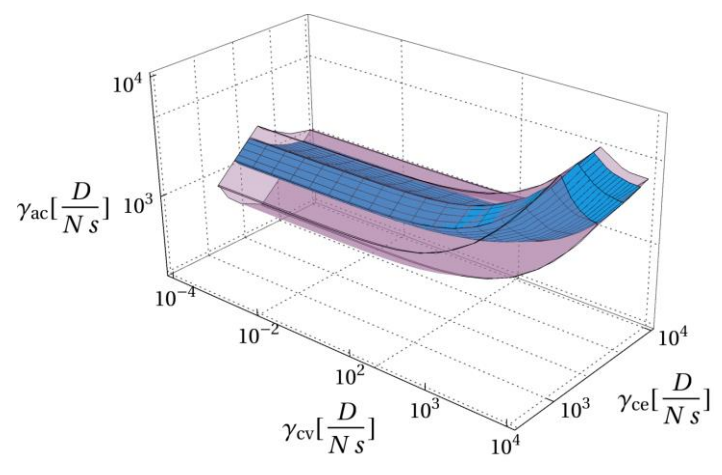


Рис.: Сравнение областей параметров физиологической нормы в пространстве параметров γ_{ce} , γ_{cv} , γ_{ac} для случаев простой и реальной геометрий

Расчеты для простой геометрии могут использоваться для оценок поведения величин в сложной геометрии

Распределение максимального смещения на границе желудочка

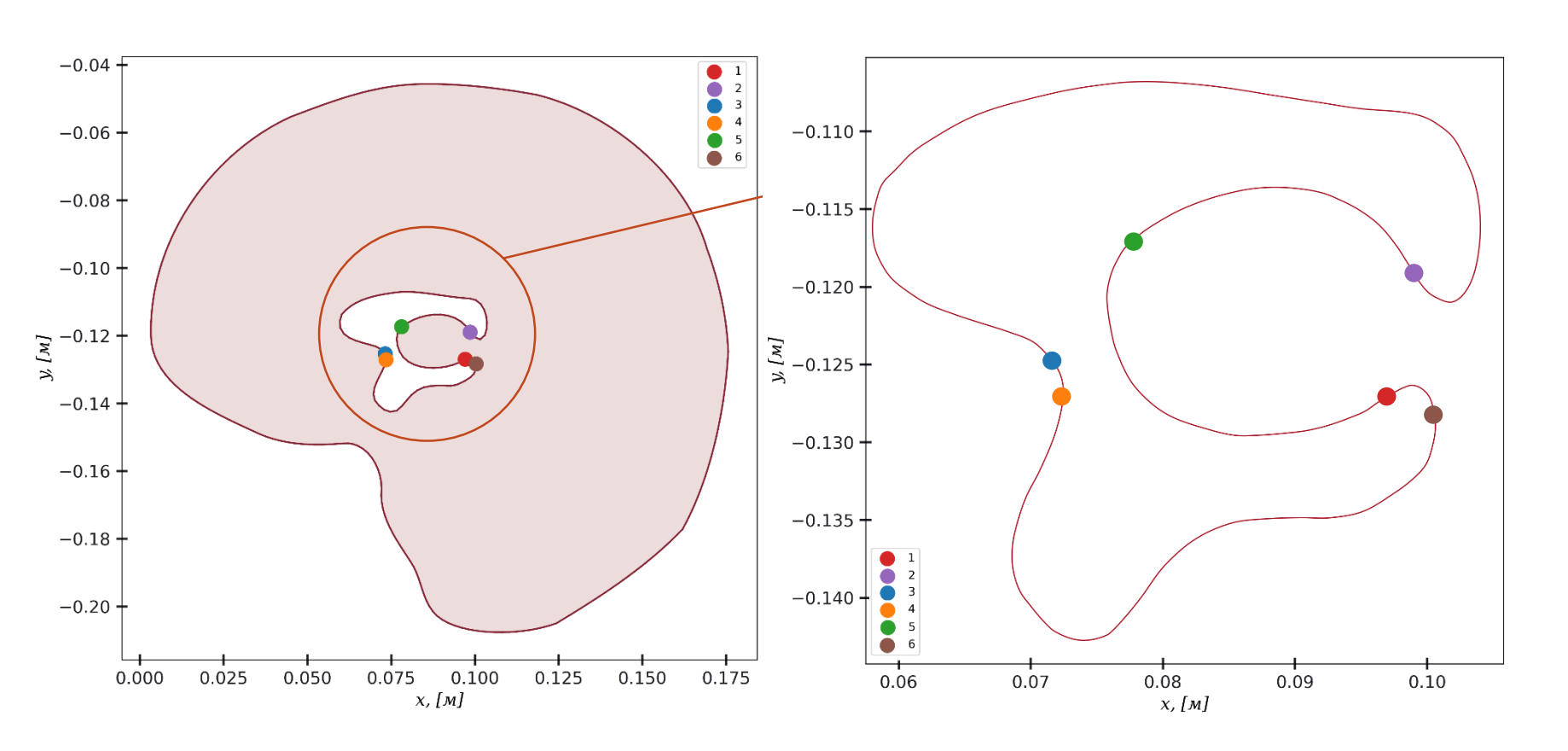


Рис.: Разбиение решений, построенных по 50625 наборам $\{\gamma_{ac}, \gamma_{cv}, \gamma_{ce}, \gamma_{ev}\}$, на 6 классов: для каждого класса свое место максимального смещения стенки желудочка

Смещение стенки желудочка и капиллярное давление для различных классов

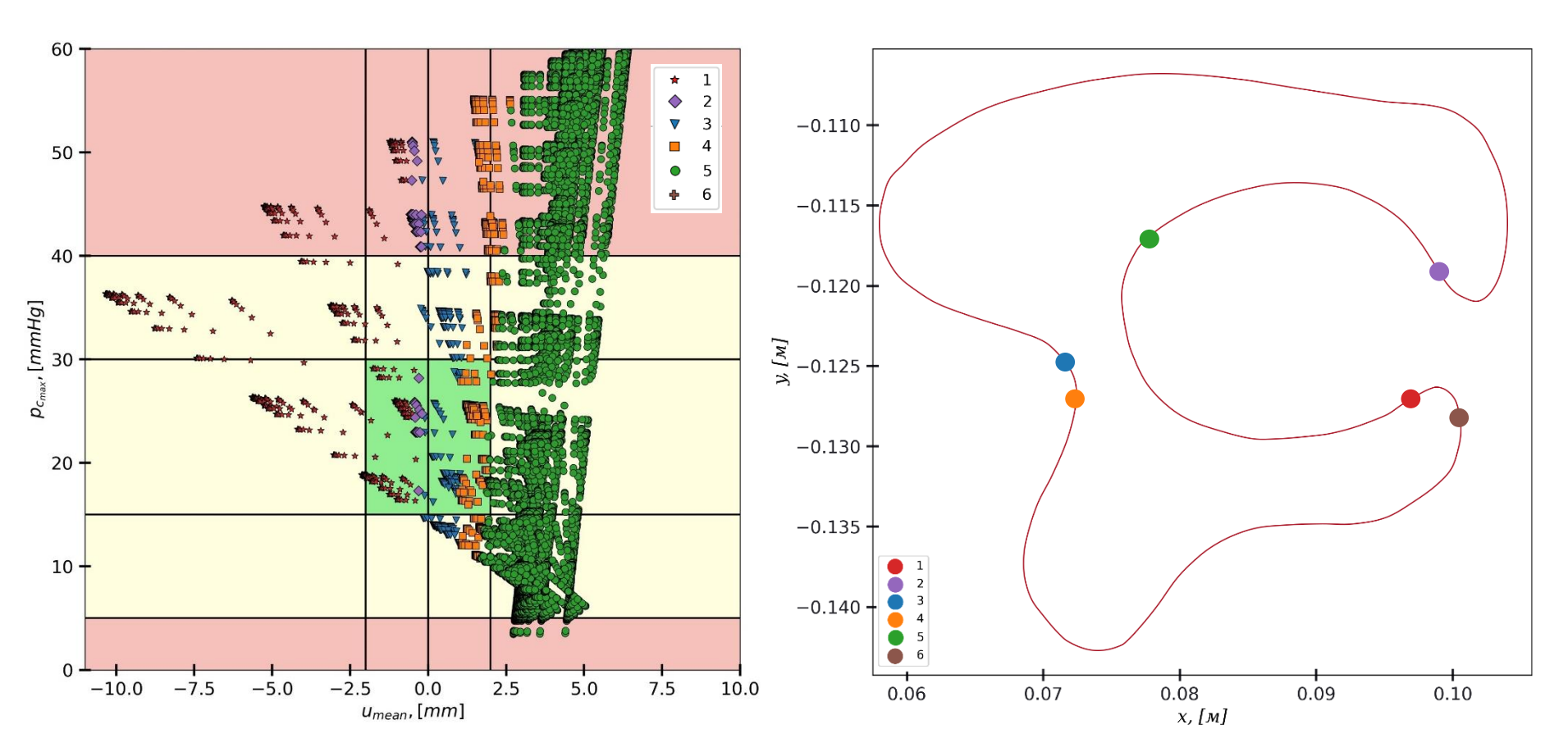


Рис.: Место максимального смещения желудочка характеризует статус пациента: здоровый, больной не физиологичные величины

Рис.: Распределение максимального смещения на границе желудочка: максимальное смещение на границе желудочка достигается только в одной из шести точек

Заключение

- 1. Рассмотренная модель позволяет описать как здоровое состояние организма, так и состояние организма при гидроцефалии и переход между ними, осуществляющийся при изменением параметров модели.
- 2. Расчеты для простой геометрии могут использоваться для оценок поведения величин в сложной геометрии.
- 3. 50625 исследованных случаев разбиваются на 6 классов: для каждого класса свое место максимального смещения стенки желудочка.
- 4. Классы соответствуют различным состояниям организма: сжатие желудочка, норма, гидроцефалия.
- 5. Поведение модели соответствует поведению реальных механизмов гемоликвородинамики.